

Биометрия

02

Метод Viola Jones

- используются изображения в интегральном представлении, что позволяет вычислять быстро необходимые объекты;
- используются признаки Хаара, с помощью которых происходит поиск нужного объекта (в данном контексте, лица и его черт);
- используется бустинг (от англ. boost – улучшение, усиление) для выбора наиболее подходящих признаков для искомого объекта на данной части изображения;
- все признаки поступают на вход классификатора, который даёт результат «верно» либо «ложь»;
- используются каскады признаков для быстрого отбрасывания окон, где не найдено лицо.

- <https://habrahabr.ru/post/135244/>
- <https://habrahabr.ru/post/134857/>
- <https://habrahabr.ru/post/133909/>
- <https://habrahabr.ru/post/133826/>

Метод Viola Jones. Основные принципы

- используются изображения в интегральном представлении, что позволяет вычислять быстро необходимые объекты;
- используются признаки Хаара, с помощью которых происходит поиск нужного объекта (в данном контексте, лица и его черт);
- используется бустинг (от англ. boost – улучшение, усиление) для выбора наиболее подходящих признаков для искомого объекта на данной части изображения;
- все признаки поступают на вход классификатора, который даёт результат «верно» либо «ложь»;
- используются каскады признаков для быстрого отбрасывания окон, где не найдено лицо.

Краткий алгоритм

- имеется *изображение*, на котором есть *искомые объекты*. Оно представлено *двумерной матрицей пикселей* размером $w * h$, в которой каждый пиксель имеет значение:
 - от 0 до 255, если это черно-белое изображение;
 - от 0 до 255³, если это цветное изображение (компоненты R, G, B).
- в результате своей работы, алгоритм должен определить лица и их черты и *пометить их* – поиск осуществляется в *активной области* изображения *прямоугольными признаками*, с помощью которых и описывается найденное лицо и его черты:

$$\text{rectangle}_i = \{x, y, w, h, a\},$$

где x, y – координаты центра i -го прямоугольника, w – ширина, h – высота, a – угол наклона прямоугольника к вертикальной оси изображения.

Интегральное представление изображений

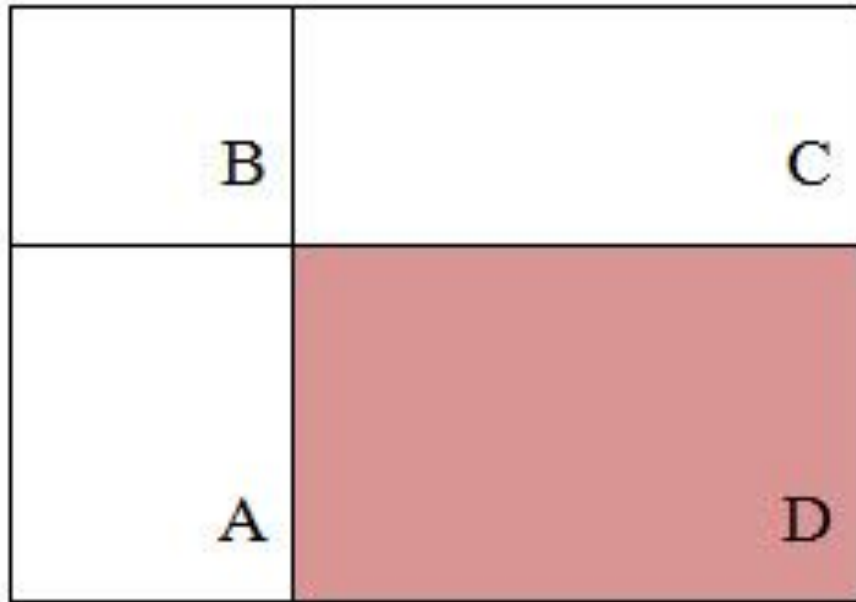
- вейвлет-преобразования
 - SURF
 - SIFT
-
- рассчитывать **суммарную яркость** произвольного прямоугольника на изображении, причем какой бы прямоугольник не был, время расчета неизменно.
Интегральное представление изображения – это **матрица**, совпадающая по размерам с исходным изображением. В каждом элементе ее хранится **сумма интенсивностей** всех пикселей, находящихся **левее и выше** данного элемента.

$$L(x,y) = \sum_{i=0, j=0}^{i \leq x, j \leq y} I(i,j),$$

- где $I(i,j)$ — яркость пикселя исходного изображения. Каждый элемент матрицы $L[x,y]$ представляет собой сумму пикселей в прямоугольнике от $(0,0)$ до (x,y) , т.е. значение каждого пикселя (x,y) равно сумме значений всех пикселей левее и выше данного пикселя (x,y) . Расчет матрицы занимает линейное время, пропорциональное числу пикселей в изображении, поэтому интегральное изображение просчитывается за один проход.

$$L(x,y) = I(x,y) - L(x-1,y-1) + L(x,y-1) + L(x-1,y)$$

- $S(ABCD) = L(A) + L(C) - L(B) - L(D)$



Пример расчета

30	24	5	20	8	52
17	2	152	0	77	33
5	18	59	89	0	17
34	15	90	104	20	3
9	13	22	44	55	51
72	201	185	104	35	21

A

30	24
17	2

$s = 30 + 24 + 17 + 2 = 73$

B

30	24	5	20
17	2	152	0

$s = 73 + 5 + 20 + 152 + 0 = 250$

D

30	24
17	2
5	18
34	15

$s = 73 + 5 + 18 + 34 + 15 = 145$

C

30	24	5	20
17	2	152	0
5	18	59	89
34	15	90	104

$s = 250 + 72 + 59 + 89 + 90 + 104 = 664$

искомый объект

59	89
90	104

$s = 59 + 89 + 90 + 104 = 342$

$A + C - B - D = 73 + 664 - 250 - 145 = 342$

Признаки Хаара

- Признак — отображение $f: X \Rightarrow D_f$ где D_f — множество допустимых значений признака.
- Если заданы признаки f_1, \dots, f_n , то вектор признаков $x = (f_1(x), \dots, f_n(x))$, называется признаковым описанием объекта $x \in X$.
- Признаковые описания допустимо отождествлять с самими объектами. При этом множество $X = D_{f_1} * \dots * D_{f_n}$ называют признаковым пространством.

ТИПЫ В ЗАВИСИМОСТИ

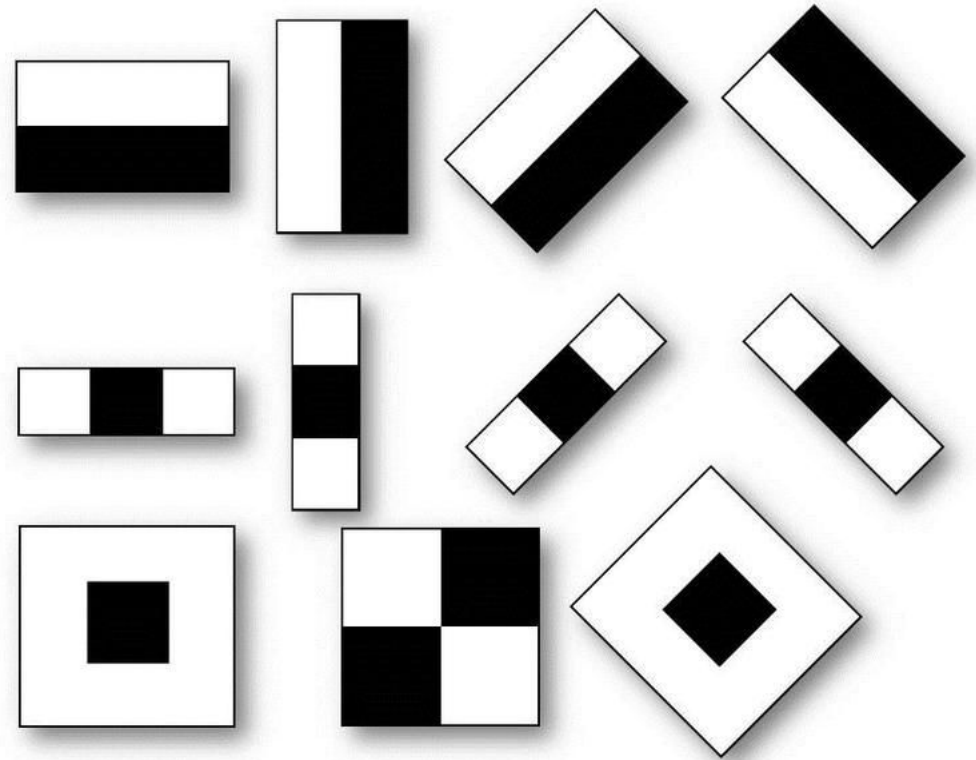
- Признаки делятся на следующие типы в зависимости от множества D_f :
- бинарный признак, $D_f = \{0, 1\}$;
- номинальный признак: D_f — конечное множество;
- порядковый признак: D_f — конечное упорядоченное множество;
- количественный признак: D_f — множество действительных чисел.

В стандартном методе Виолы – Джонса

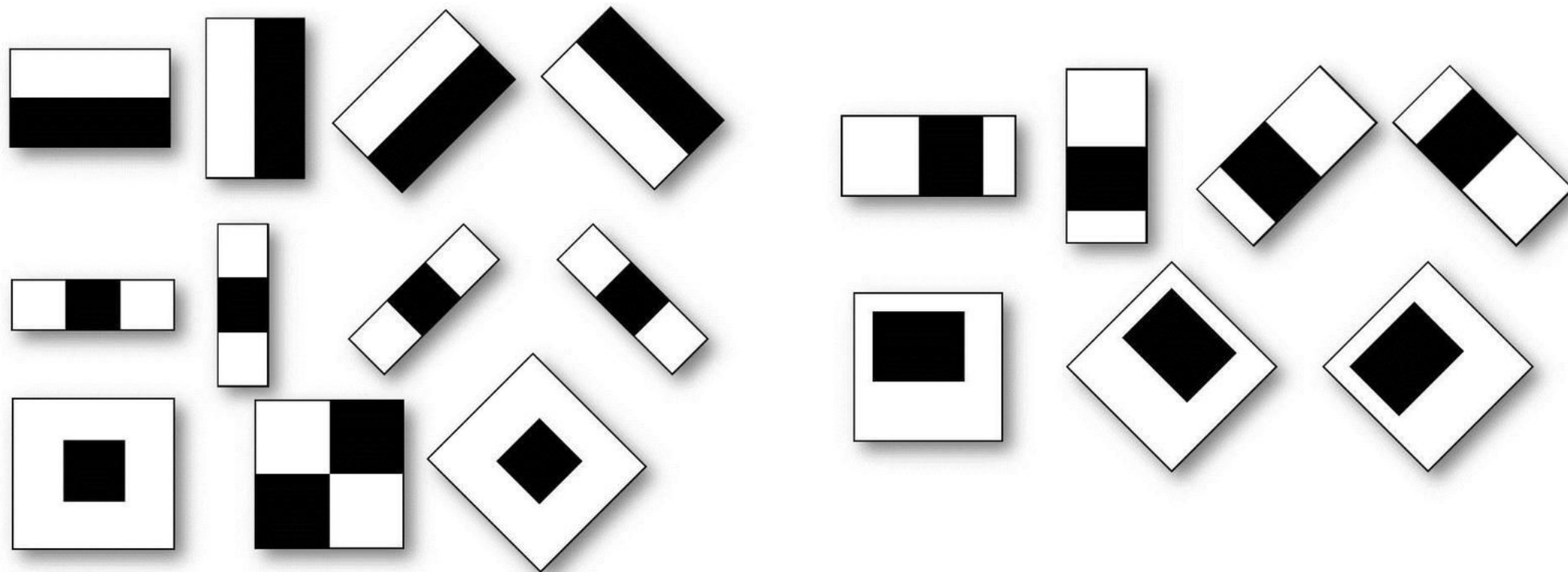
Вычисляемым значением такого признака будет

$$F = X - Y,$$

где X – сумма значений яркостей точек закрываемых *светлой* частью признака, а Y – сумма значений яркостей точек закрываемых *темной* частью признака.

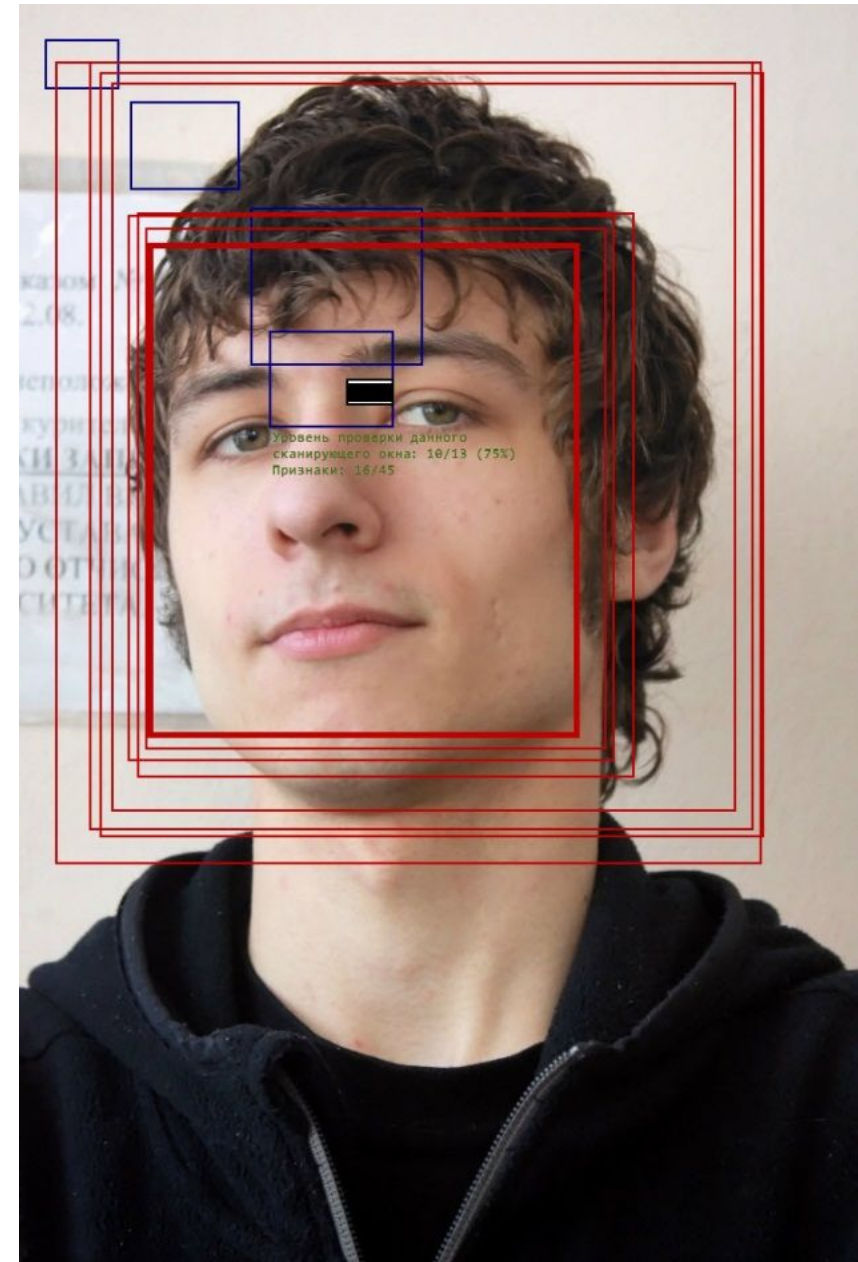


В расширенном методе Виолы – Джонса



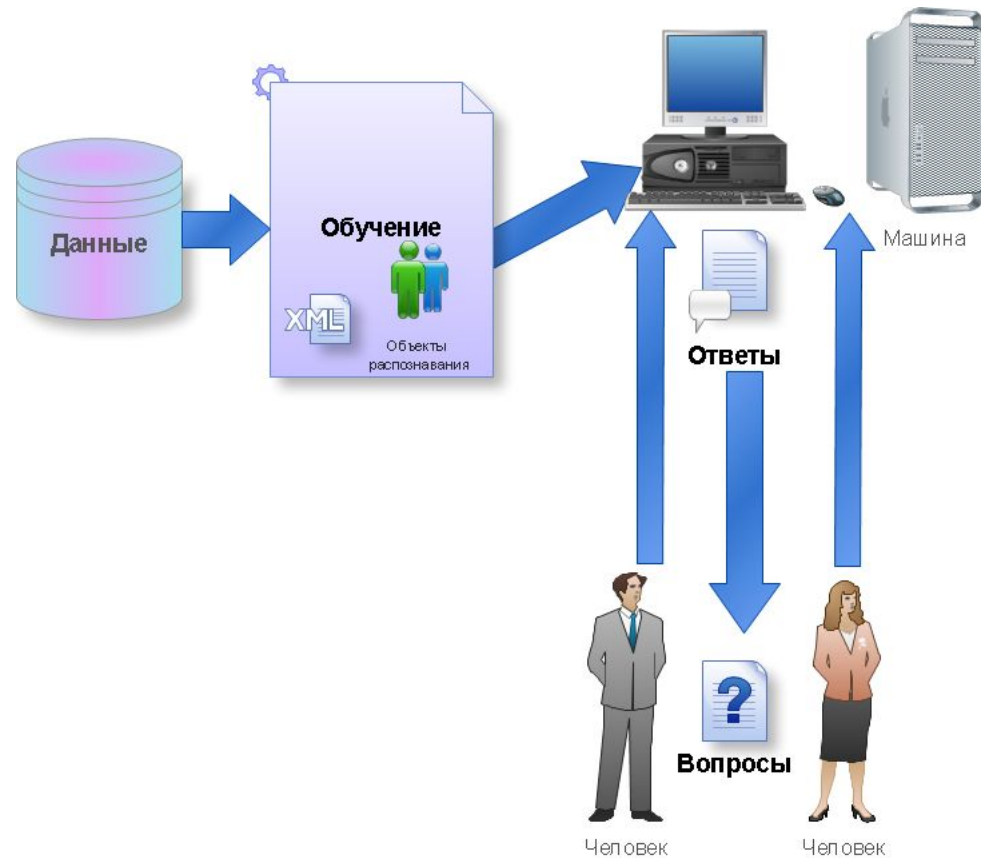
Сканирование окна

- есть исследуемое изображение, выбрано окно сканирования, выбраны используемые признаки;
- далее окно сканирования начинает последовательно двигаться по изображению с шагом в 1 ячейку окна (например, 24*24 ячейки);
- при сканировании изображения в каждом окне вычисляется приблизительно 200 000 вариантов расположения признаков, за счет изменения масштаба признаков и их положения в окне сканирования;
- сканирование производится последовательно для различных масштабов;
- масштабируется не само изображение, а сканирующее окно (изменяется размер ячейки);
- все найденные признаки попадают к классификатору, который «выносит вердикт».





Используемая в алгоритме модель машинного обучения



«Машинное обучение — это наука, изучающая компьютерные алгоритмы, автоматически улучшающиеся во время работы» (Michel, 1996)

Обучение машины — это процесс получения модулем новых знаний.

Обучение классификатора в методе Виолы-Джонса

- **Классифицировать объект** — значит, указать номер (или наименование класса), к которому относится данный объект.
Классификация объекта — номер или наименование класса, выдаваемые алгоритмом классификации в результате его применения к данному конкретному объекту.
Классификатор(classifier) — в задачах классификации это аппроксимирующая функция, выносящая решение, к какому именно классу данный объект принадлежит.
Обучающая выборка – конечное число данных.

Постановка классификации

- Есть X – множество, в котором хранится описание объектов,
- Y – конечное множество номеров, принадлежащих классам.
- зависимость – отображение $Y^*: X \Rightarrow Y$.
- Обучающая выборка $X_m = \{(x_1, y_1), \dots, (x_m, y_m)\}$.
- Конструируется функция f от вектора признаков X , которая выдает ответ для любого возможного наблюдения X и способна классифицировать объект $x \in X$.

Бустинг и разработка AdaBoost

- Бустинг — комплекс методов, способствующих повышению точности аналитических моделей.
- *Эффективная модель, допускающая мало ошибок классификации, называется «сильной».*
- *«Слабая» не позволяет надежно разделять классы или давать точные предсказания, делает в работе большое количество ошибок. Поэтому **бустинг** означает дословно «**усиление**» «**слабых**» **моделей** – это процедура последовательного построения композиции алгоритмов машинного обучения, когда каждый следующий алгоритм стремится компенсировать недостатки композиции всех предыдущих алгоритмов.*

Идея бустинга

- Роберт Шапир (*Schapire*) в конце 90-х годов
- построение цепочки (ансамбля) классификаторов, который называется **каскадом**, каждый из которых (кроме первого) обучается на ошибках предыдущего.
- Boost1 использовал каскад из 3-х моделей,
- первая из которых обучалась на всем наборе данных,
- вторая – на выборке примеров, в половине из которых первая дала правильные ответы,
- третья — на примерах, где «ответы» первых двух разошлись.
- имеет место последовательная обработка примеров каскадом классификаторов,
- задача для каждого последующего становится труднее.
- Результат определяется путем голосования: пример относится к тому классу, который выдан большинством моделей каскада.

Математическое объяснение

- Наряду с множествами
- X и Y
- вводится вспомогательное множество R , называемое *пространством оценок*.
- Рассматриваются алгоритмы, имеющие вид суперпозиции
- $a(x) = C(b(x))$,
- где функция $b: X \rightarrow R$ называется *алгоритмическим оператором*,
- функция $C: R \rightarrow Y$ – *решающим правилом*.

Структура алгоритмов классификации

- вычисляются оценки принадлежности объекта классам,
- решающее правило переводит эти оценки в номер класса.
- Значение оценки, как правило, характеризует степень уверенности классификации.

Алгоритмическая композиция

- алгоритм $a: X \rightarrow Y$ вида
 $a(x) = C(F(b_1(x), \dots, b_T(x))), x \in X,$
- составленный из алгоритмических операторов $b_t: X \rightarrow R, t=1, \dots, T,$
- корректирующей операции $F: R^T \rightarrow R$
- решающего правила $C: R \rightarrow Y.$
Базовыми алгоритмами обозначаются функции $a_t(x) = C(b_t(x)),$ а при фиксированном решающем правиле C — и сами операторы $b_t(x).$
- Суперпозиции вида $F(b_1, \dots, b_T)$ являются отображениями из X в $R,$ то есть, опять же, алгоритмическими операторами.

совместное применение нескольких критериев

- построено заданное количество базовых алгоритмов T ;
- достигнута заданная точность на обучающей выборке;
- достигнутую точность на контрольной выборке не удаётся улучшить на протяжении последних нескольких шагов при определенном параметре алгоритма.

AdaBoost (*adaptive boosting* – адаптированное улучшение)

- Йоав Фройнд (Freund) и Роберт Шапир (Scharire) в 1999,
- может использовать произвольное число классификаторов
- производить обучение на одном наборе примеров, поочередно применяя их на различных шагах.

- задача классификации на два класса, $Y = \{-1, +1\}$. К примеру, базовые алгоритмы также возвращают только два ответа -1 и $+1$, и решающее правило фиксировано: $C(b) = \text{sign}(b)$. Искомая алгоритмическая композиция имеет вид:

$$a(x) = C(F(b_1(x), \dots, b_T(x))) = \text{sign}(\sum_{t=1}^T a_t b_t(x)), \quad x \in X$$

- Функционал качества композиции Q_t определяется как число ошибок, допускаемых ею на обучающей выборке:

$$Q(b, W^b) = Q_T = \sum_{i=1}^l [y_i \sum_{t=1}^T a_t b_t(x_i)] < 0,$$

- Для решения задачи AdaBoosting'a нужна экспоненциальная аппроксимация пороговой функции потерь $[z < 0]$, причем экспонента $E^z = e^{-z}$

- Дано:
 $Y = \{-1, +1\}$,
- $b_1(x), \dots, b_T(x)$ возвращают -1 и $+1$,
- X^l – обучающая выборка.
-

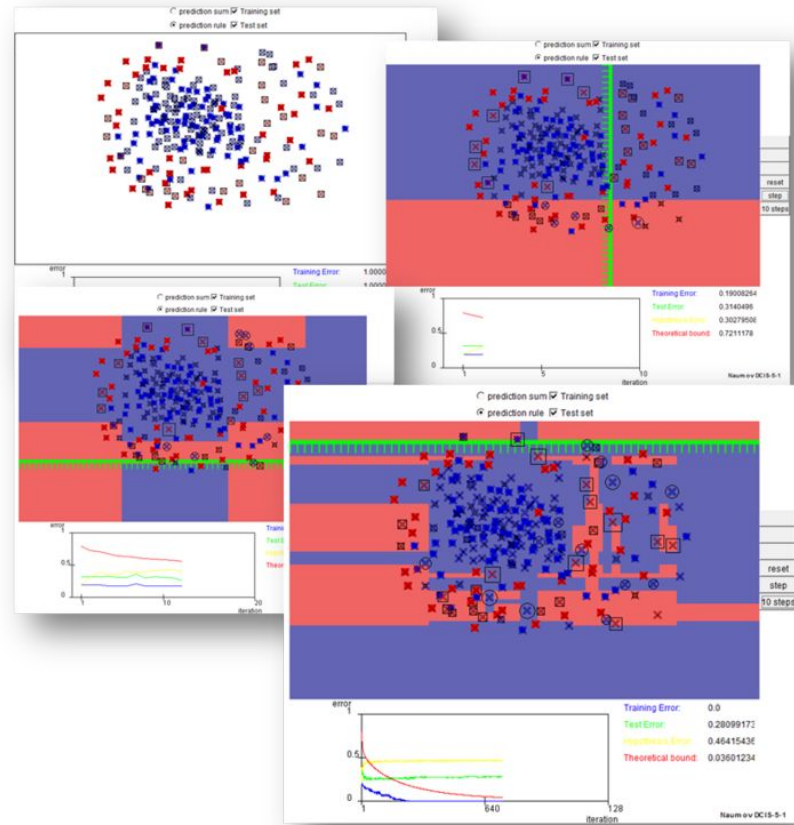
- Решение:
 1. Инициализация весов объектов:
 $w_i := 1/l, i = 1, \dots, l; (1.9)$
 для всех $t = 1, \dots, T$, пока не вып $b_t := \arg \min_b Q(b; W^t)$; эрий останова:
 - 2 а. $\alpha_t = 1/2 \ln 1 - \frac{1 - Q(b_t; W^t)}{Q(b_t; W^t)}$,
 - 2 б.
 3. Пересчёт весов объектов.
 Правило мультипликативного пересчёта весов. e^{at}
 - Вес объекта увеличивается в раз, когда b_t допускает на нём ошибку, и в b_t столько же раз уменьшается, когда b_t правильно классифицирует x_i .

- непосредственно перед настройкой базового алгоритма наибольший вес накапливается у тех объектов, которые чаще оказывались трудными для предыдущих алгоритмов:

$$w_i := w_i \exp(-\alpha_t y_i b_t(x_i)), \quad i = 1, \dots, \ell;$$

- 4. Нормировка весов объектов

$$w_0 := \sum_{j=1}^{\ell} w_j; \quad w_i := w_i / w_0, \quad i = 1, \dots, \ell.$$



Плюсы AdaBoost

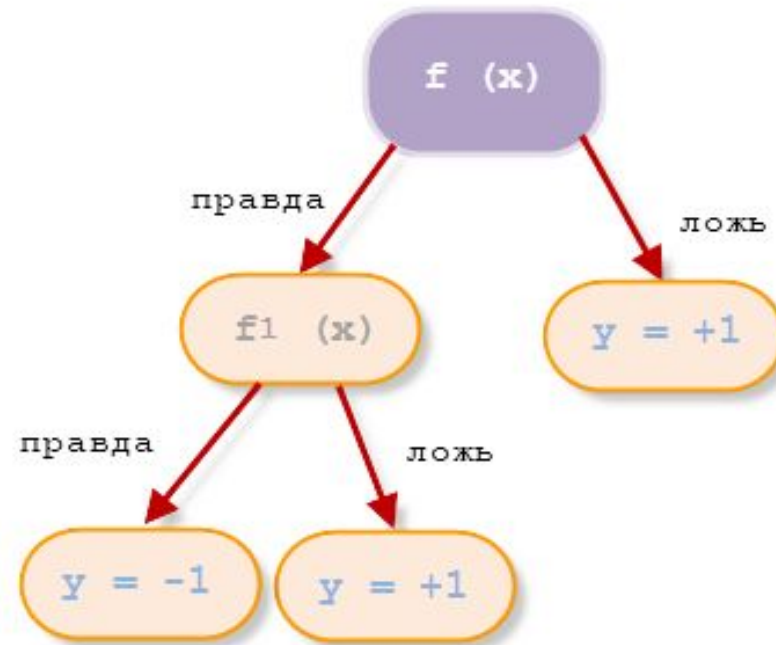
- хорошая обобщающая способность. В реальных задачах практически всегда строятся композиции, превосходящие по качеству базовые алгоритмы. Обобщающая способность может улучшаться по мере увеличения числа базовых алгоритмов;
- простота реализации;
- собственные накладные расходы бустинга невелики. Время построения композиции практически полностью определяется временем обучения базовых алгоритмов;
- возможность идентифицировать объекты, являющиеся шумовыми выбросами. Это наиболее «трудные» объекты x_i , для которых в процессе наращивания композиции веса w_i принимают наибольшие значения.

Минусы AdaBoost:

- Бывает переобучение при наличии значительного уровня шума в данных. Экспоненциальная функция потерь слишком сильно увеличивает веса «наиболее трудных» объектов, на которых ошибаются многие базовые алгоритмы. Однако именно эти объекты чаще всего оказываются шумовыми выбросами. В результате AdaBoost начинает настраиваться на шум, что ведёт к переобучению. Проблема решается путём удаления выбросов или применения менее «агрессивных» функций потерь. В частности, применяется алгоритм GentleBoost;
- AdaBoost требует достаточно длинных обучающих выборок. Другие методы линейной коррекции, в частности, бэггинг, способны строить алгоритмы сопоставимого качества по меньшим выборкам данных;
- Бывает построение неоптимального набора базовых алгоритмов. Для улучшения композиции можно периодически возвращаться к ранее построенным алгоритмам и обучать их заново.
- Бустинг может приводить к построению громоздких композиций, состоящих из сотен алгоритмов. Такие композиции исключают возможность содержательной интерпретации, требуют больших объёмов памяти для хранения базовых алгоритмов и существенных временных затрат на вычисление классификаций.

Принципы решающего дерева в алгоритме

```
function Node = Обучение_Вершины( {(x,y)} ) {  
  if {y} одинаковые  
    return Создать_Лист(y);  
  test = Выбрать_лучшее_разбиение( {(x,y)} );  
  {(x0,y0)} = {(x,y) | test(x) = 0};  
  {(x1,y1)} = {(x,y) | test(x) = 1};  
  LeftChild = Обучение_Вершины( {(x0,y0)} );  
  RightChild = Обучение_Вершины( {(x1,y1)} );  
  return Создать_Вершину(test, LeftChild, RightChild);  
}  
//Обучение дерева  
function main() {  
  {(X,Y)} = Прочитать_Обучающие_Данные();  
  TreeRoot = Обучение_Вершины( {(X,Y)} );  
}
```



Каскадная модель алгоритма

- Алгоритм бустинга для поиска лиц с моей точки зрения таков:
 1. Определение слабых классификаторов по прямоугольным признакам;
 2. Для каждого перемещения сканирующего окна вычисляется прямоугольный признак на каждом примере;
 3. Выбирается наиболее подходящий порог для каждого признака;
 4. Отбираются лучшие признаки и лучший подходящий порог;
 5. Перевзвешивается выборка.

Сложность обучения таких каскадов равна $O(xyz)$, где применяется x этапов, y примеров и z признаков.

Далее, каскад применяется к изображению:

1. Работа с «простыми» классификаторами – при этом отбрасывается часть «отрицательных» окон;
2. Положительное значение первого классификатора запускает второй, более приспособленный и так далее;
3. Отрицательное значение классификатора на любом этапе приводит к немедленному переходу к следующему сканирующему окну, старое окно отбрасывается;
4. Цепочка классификаторов становится более сложной, поэтому ошибок становится намного меньше.



- Для тренировки такого каскада потребуются следующие действия:
 1. Задаются значения уровня ошибок для каждого этапа (предварительно их надо количественно просмотреть при применении к изображению из обучающего набора) – они называются *detection* и *false positive rates* – надо чтобы уровень *detection* был высок, а уровень *false positive rates* низок;
 2. Добавляются признаки до тех пор, пока параметры вычисляемого этапа не достигнут поставленного уровня, тут возможны такие вспомогательные этапы, как:
 - а. Тестирование дополнительного маленького тренировочного набора;
 - б. Порог AdaBoost умышленно понижается с целью найти больше объектов, но в связи с этим возможно большее число неточных определений объектов;
 3. Если *false positive rates* остается высоким, то добавляется следующий этап или слой;
 4. Ложные обнаружения в текущем этапе используются как отрицательные уже на следующем слое или этапе.

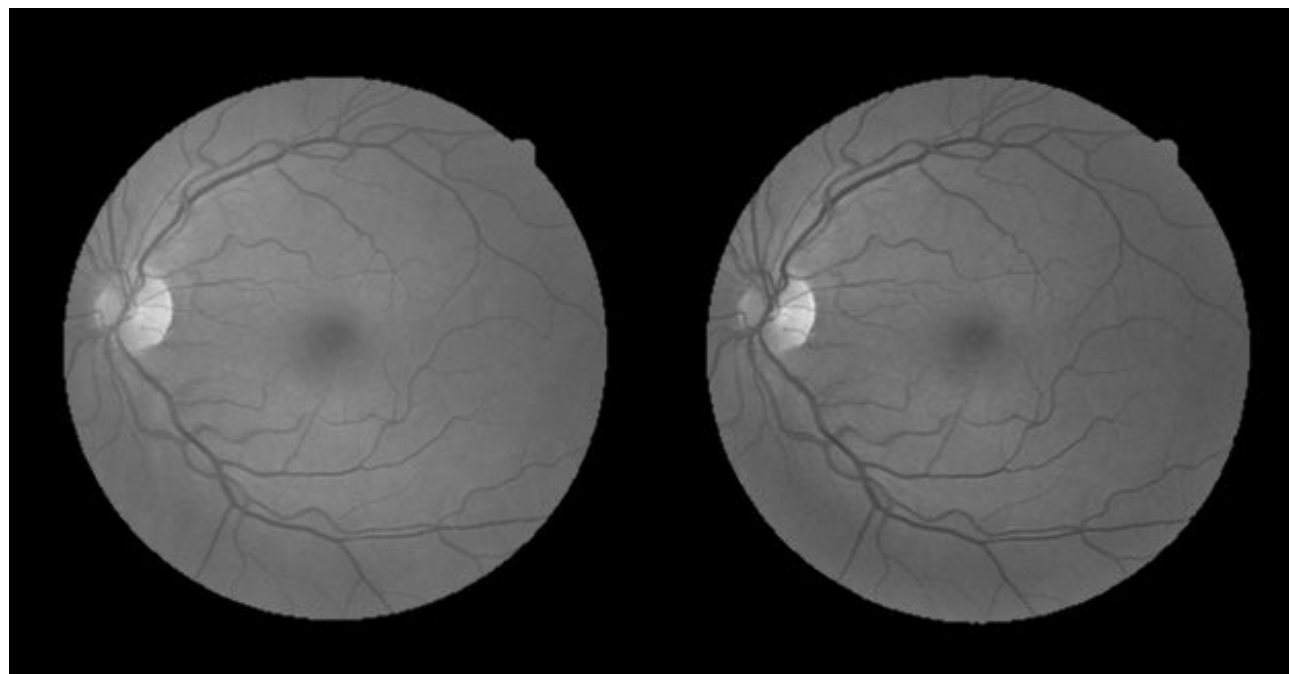
- В более формальном виде алгоритм тренировки каскада:
 - Пользователь задает значения f (максимально допустимый уровень ложных срабатываний на слой) и d (минимально допустимый уровень обнаружений на слой)
 - Пользователь задает целевой общий уровень ложных срабатываний F_{target}
 - P – набор положительных примеров
 - N – набор отрицательных примеров
 - $F_0 = 1,0; D_0 = 1,0; i = 0$
 - while ($F_i > F_{\text{target}}$)
 - $i = i+1; n_i = 0; F_{\text{target}} = F_i$
 - while ($F_i = f * F_{i-1}$)
 - $n_i = n_i + 1$
 - AdaBoost(P, N, n_i)
 - Оценить полученный каскад на тестовом наборе для определения F_i и D_i ;
 - Уменьшать порог для i -того классификатора, пока текущий каскад будет иметь уровень обнаружения по крайней мере $d * D_i - 1$ (это же касается F_i) ;
 - g) $N = \emptyset$;
 - h) Если $F_i > F_{\text{target}}$, то оценить текущий каскад на наборе изображений, не содержащих лиц, и добавить все неправильно классифицированные в N .

- 1. P. Viola and M.J. Jones, «Rapid Object Detection using a Boosted Cascade of Simple Features», proceedings IEEE Conf. on Computer Vision and Pattern Recognition (CVPR 2001), 2001
- 2. P. Viola and M.J. Jones, «Robust real-time face detection», International Journal of Computer Vision, vol. 57, no. 2, 2004., pp.137–154
- 3. Р.Гонсалес, Р.Вудс, «Цифровая обработка изображений», ISBN 5-94836-028-8, изд-во: Техносфера, Москва, 2005. – 1072 с.
- 4. Местецкий Л. М., «Математические методы распознавания образов», МГУ, ВМиК, Москва, 2002–2004., с. 42 – 44
- 5. Jan Šochman, Jiří Matas, «AdaBoost», Center for Machine Perception, Czech Technical University, Prague, 2010
- 6. Yoav Freund, Robert E. Schapire, «A Short Introduction to Boosting», Shannon Laboratory, USA, 1999., pp. 771-780

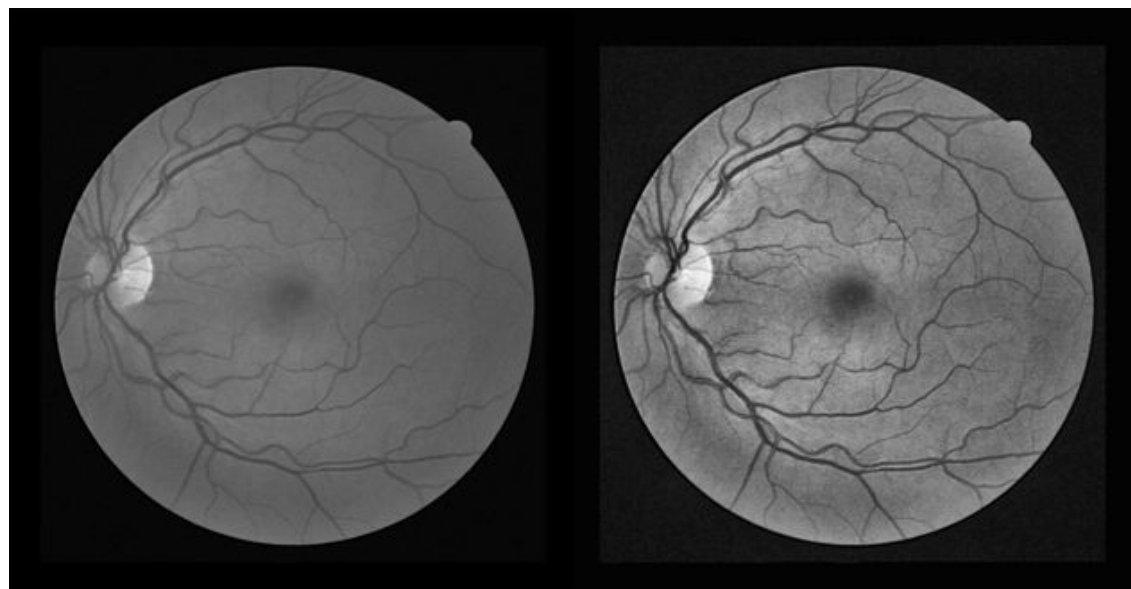
- <https://habrahabr.ru/post/133909/>

Улучшение контрастности между фоном и кровеносными сосудами

G

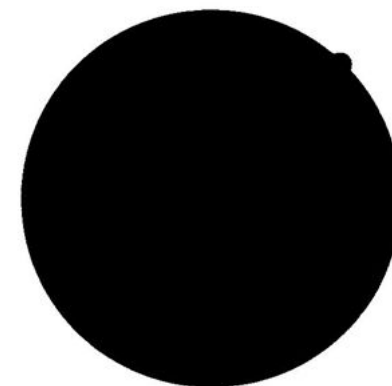
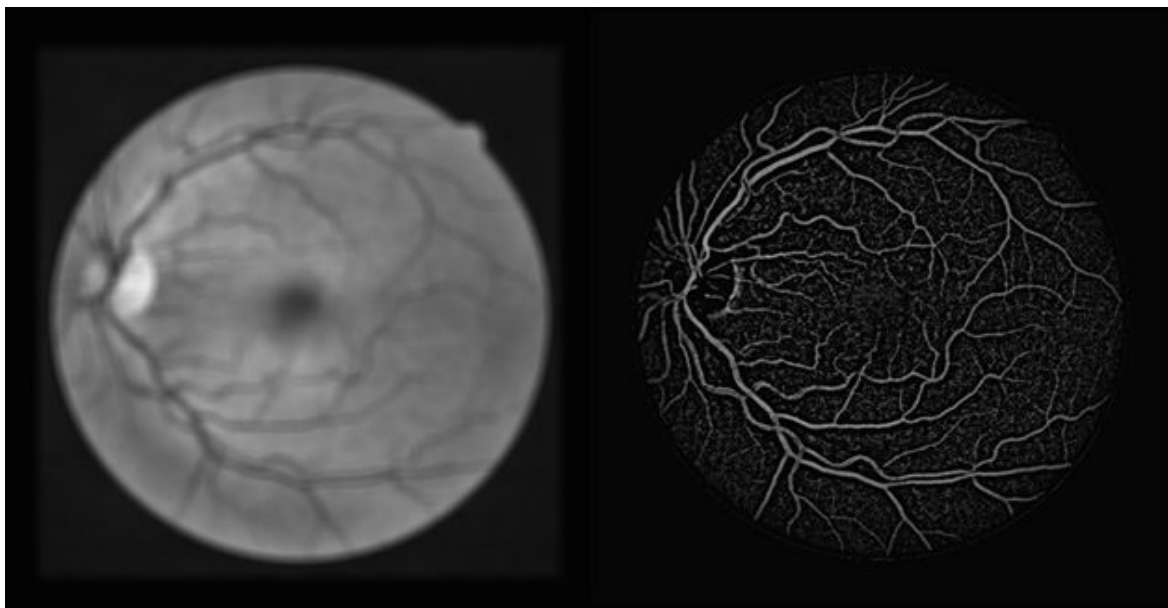


Выбор цветового
канала

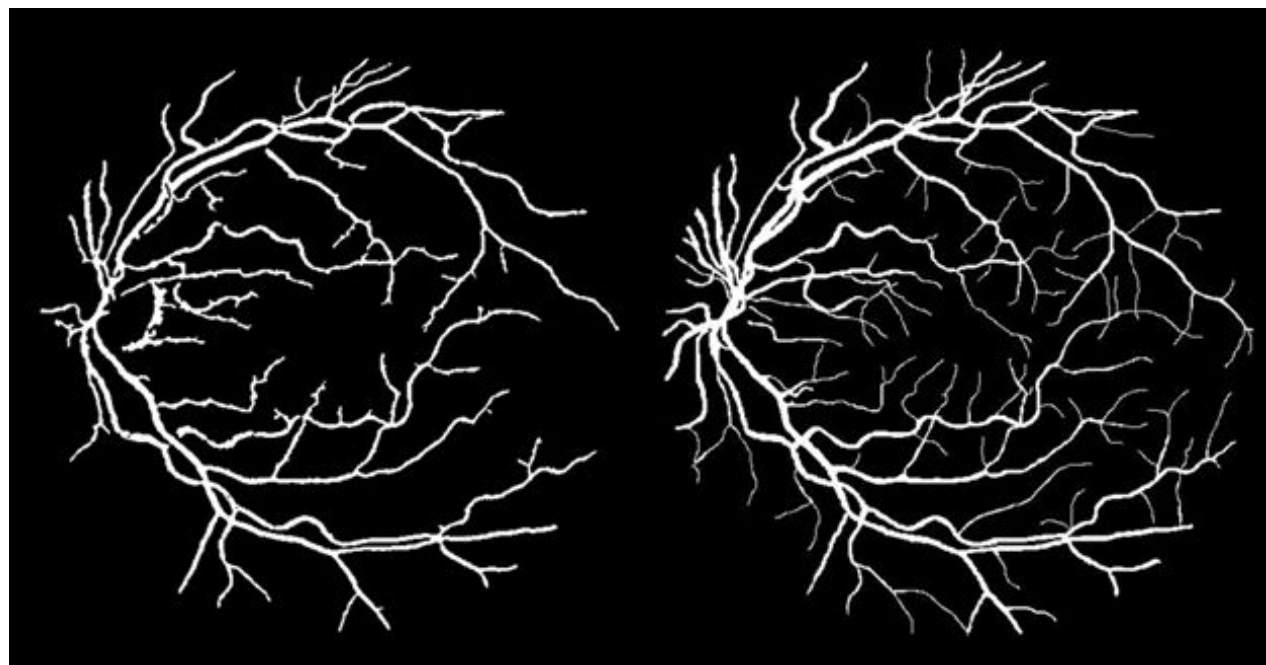


контрастно-ограниченное адаптивное выравнивание гистограммы
(contrast limited adaptive histogram equalization – clahe)

Удаление фона при помощи average фильтра



*Маска
сетчатки*



автоматическое пороговое преобразование методом Otsu, медианный фильтр и фильтр по длине

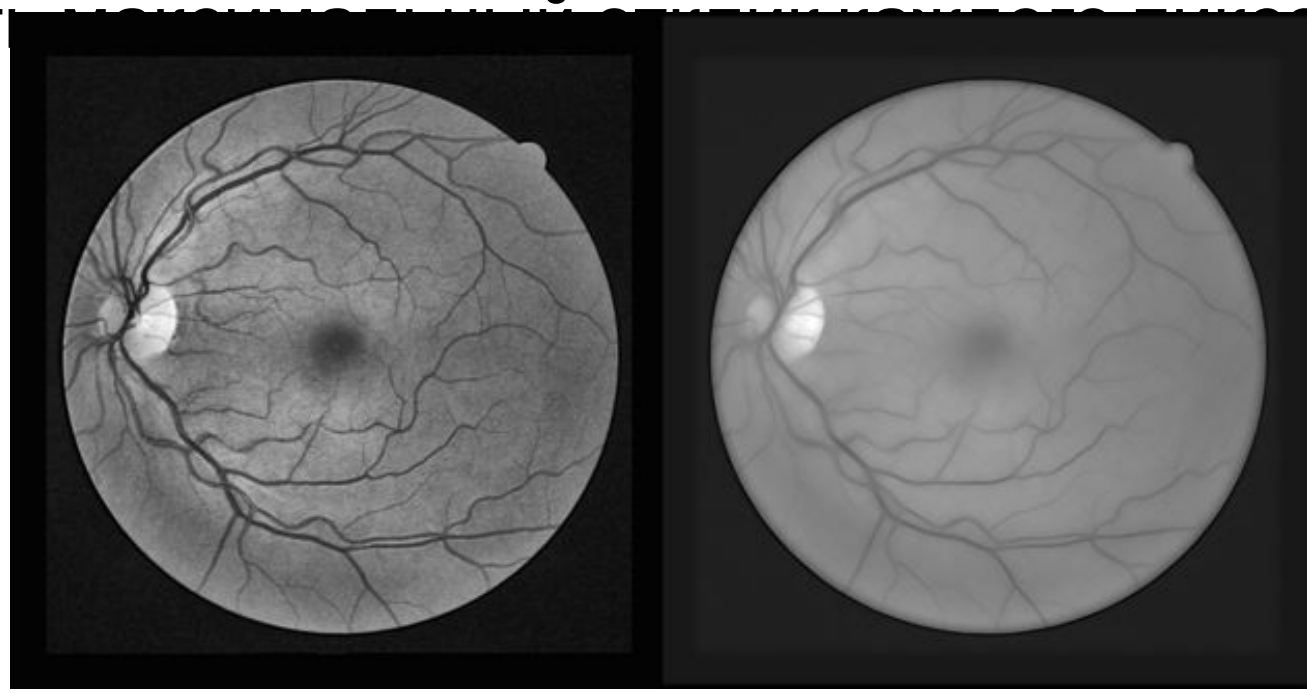
Фильтр Габора

- Способен выделять прямые линии определённого размера и под определённым углом

$$g(x, y, \lambda, \theta, \psi, \sigma, \gamma) = \exp\left(-\frac{x'^2 + \gamma^2 y'^2}{2\sigma^2}\right) \cos\left(2\pi\frac{x}{\lambda} + \psi\right),$$

- $x' = x\cos\theta + y\sin\theta$;
- $y' = -x\sin\theta + y\cos\theta$;
- x, y – координаты ядра в заранее заданных пределах;
- λ – период ядра в пикселях;
- θ – наклон ядра;
- σ – дисперсия Гауссиана;
- ψ – смещение фазы ядра;
- γ – сжатие Гауссиана.

- применить фильтр Габора с различными углами наклона ядра
- рассчитать ориентированный ориентированный момент инерции для на серию фильтров



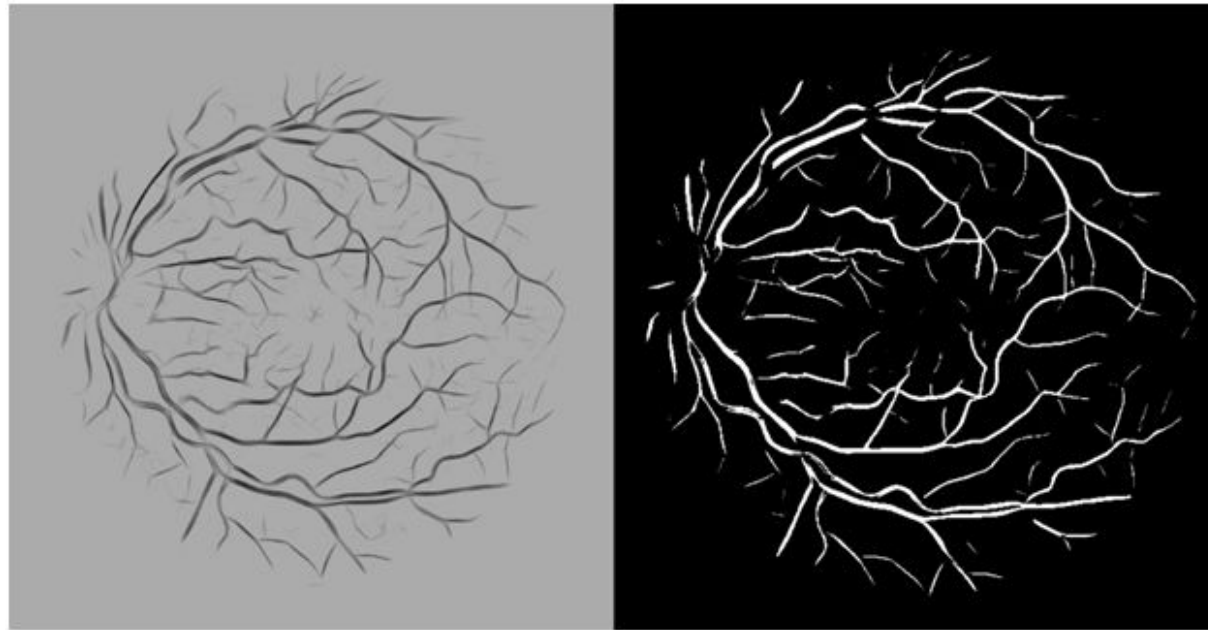
слева – исходное изображение после clahe, справа – результат применения серии габоровских фильтров

Удаление фона



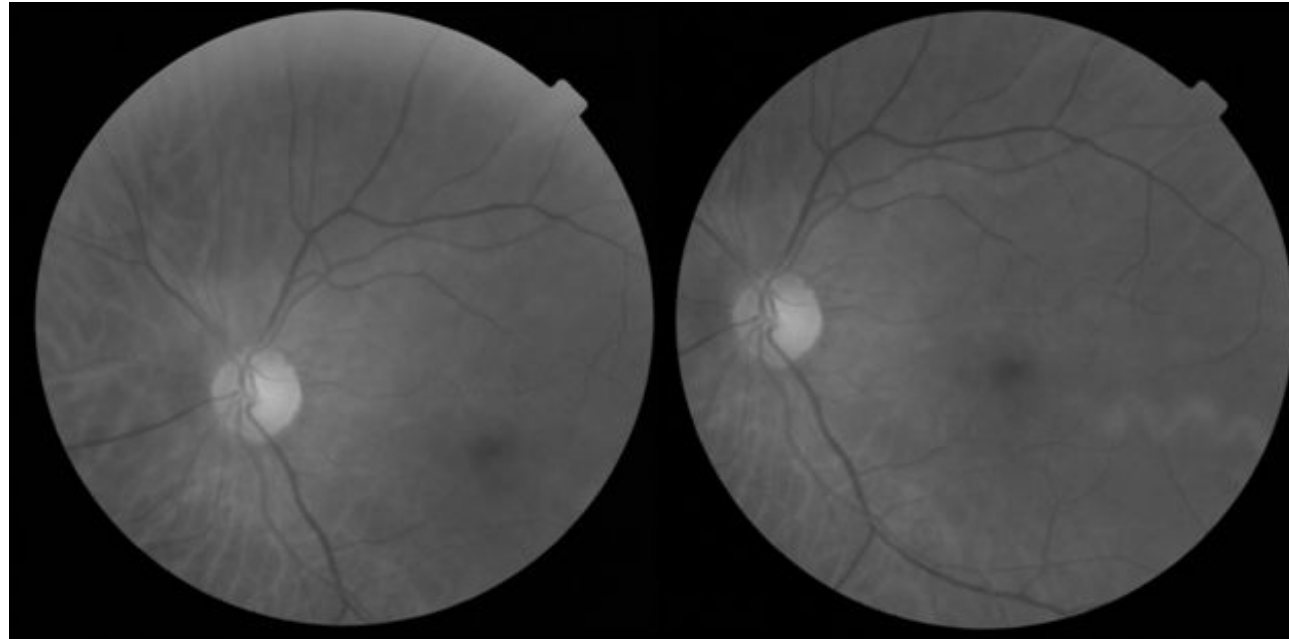
слева – исходное изображение, полученное при помощи алгоритма `background exclusion`, справа – результат применения серии габоровских фильтров

Пороговое преобразование интенсивности изображения



*слева – исходное изображение, полученное после
перекрашивания пикселей в соответствии с
параметром чувствительности, справа –
результат метода Otsu*

- Marwan D. Saleh, C. Eswaran, and Ahmed Mueen. An Automated Blood Vessel Segmentation Algorithm Using Histogram Equalization and Automatic Threshold Selection // Journal of Digital Imaging, Vol 24, No 4 (August), 2011, pp 564-572
- P. C. Siddalingaswamy, K. Gopalakrishna Prabhu. Automatic detection of multiple oriented blood vessels in retinal images // J. Biomedical Science and Engineering, 2010, 3, pp 101-107
- www.isi.uu.nl/Research/Databases/DRIVE
- www.ces.clemson.edu/~ahoover/stare



Результат движения головы и глаза при сканировании сетчатки

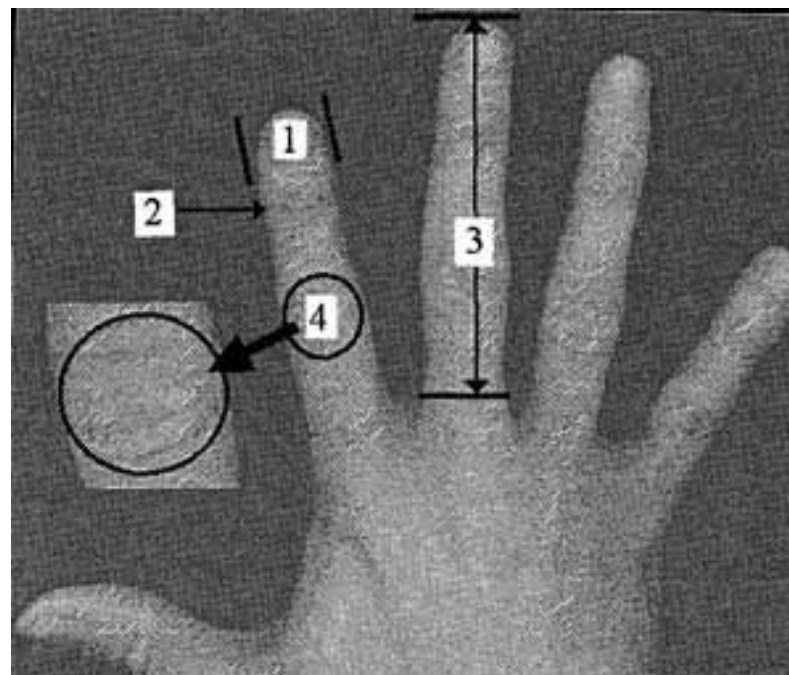
Алгоритм, основанный на методе фазовой корреляции

Алгоритм, использующий углы Харриса

Алгоритм, основанный на поиске точек разветвления

- Reddy B.S. and Chatterji B.N. An FFT-Based Technique for Translation, Rotation, and Scale-Invariant Image Registration // IEEE Transactions on Image Processing. 1996. Vol. 5. No. 8. pp. 1266-1271.
- Human recognition based on retinal images and using new similarity function / A. Dehghani [et al.] // EURASIP Journal on Image and Video Processing. 2013.
- Hortas M.O. Automatic system for personal authentication using the retinal vessel tree as biometric pattern. PhD Thesis. Universidade da Coruña. La Coruña. 2009.
- [VARIA database](#)
- [MESSIDOR database](#)

Геометрия рук



Движения глаз

- фиксация глаза на определенной точке дисплея
- момент движения яблока при перемещении взгляда с одной точки на другую

Neurotechnology

- <http://www.neurotechnology.com/>

BIOMETRICS

Large-scale systems
Fingerprint SDKs
Face SDKs
Eye iris SDK
Voice SDK
Supported devices (152)
Deduplication service

COMPUTER VISION & A.I.

Video surveillance
Robotics kit
3D face tracking SDK
Object recognition SDKs
3D reconstruction SDK
Gaze tracking SDK

END USER PRODUCTS

SentiVeillance Server
Attendance management
Face hiding in videos
Gestural/voice control
Check My Age

CUSTOM PROJECTS

Company Biometrics Surveillance Computer vision and A.I.

FINGERPRINT, FACE, IRIS, SPEAKER AND PALM PRINT RECOGNITION. FROM SMALL APPS TO NATIONAL-SCALE SYSTEMS.



MEGAMATCHER SDK
Fingerprints, faces, irises, voiceprints and palmprints.
More info...



MEGAMATCHER ACCELERATOR
The fastest biometric engine in the world.
More info...



MEGAMATCHER ABIS
Integrated system for national-scale multi-biometric projects.
More info...

Subsets of MegaMatcher SDK for single biometric modalities:



VeriFinger SDK, VeriLook SDK, VeriEye SDK, VeriSpeak SDK.

Fingerprint identification for embedded platforms:



FingerCell SDK

Поведенческая биометрия

Биометрия по электрокардиограмме

Биометрия по почерку

Биометрия по походке

Биометрия по особенностям чтения

Биометрия по особенностям набора текста

Идентификация личности на основе
данных о перемещениях (трекинга)

Отпечатки пальцев 3D

